

図1 (16) Psyche 2019年10月24日 6h08m54s UT VLT/SPHERE Model ($\lambda = 35.7561$ 、 $\beta = -9.6084$)
 $P = 84^\circ$ 、 $\beta_e = -5^\circ$ 、 $\lambda_e = +261^\circ$ 、Scale Factor 1: 1.0、 $k = 0.964$ 、 $B = 254.2^\circ$

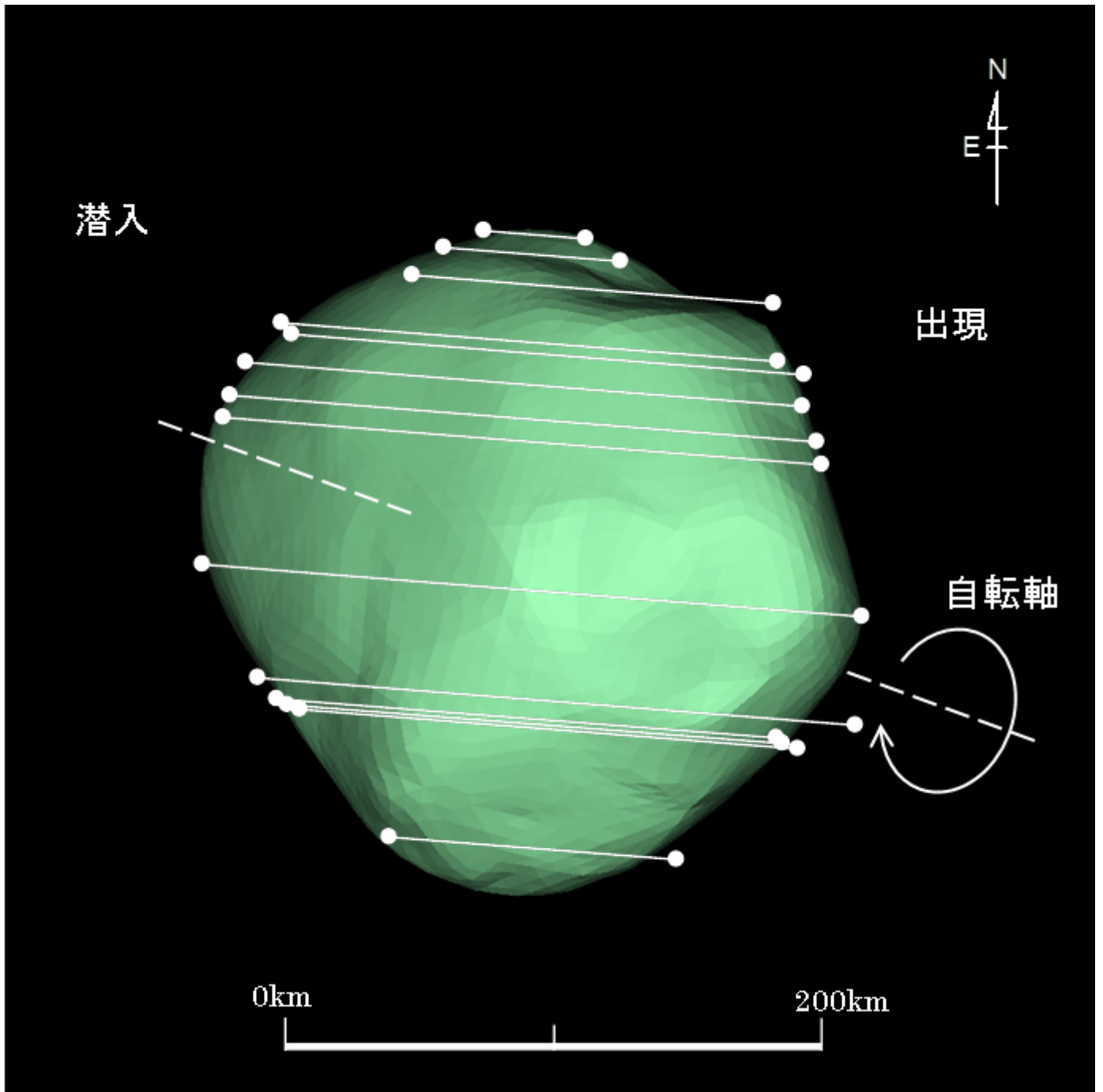


図2 (16) Psyche 2010年8月21日 9h51m48s UT VLT/SPHERE Model ($\lambda = 35.7561$ 、 $\beta = -9.6084$)
 $P = 251^\circ$ 、 $\beta_e = -53^\circ$ 、 $\lambda_e = +4^\circ$ 、Scale Factor 1: 1.0、 $k = 0.962$ 、 $B = 82.0^\circ$

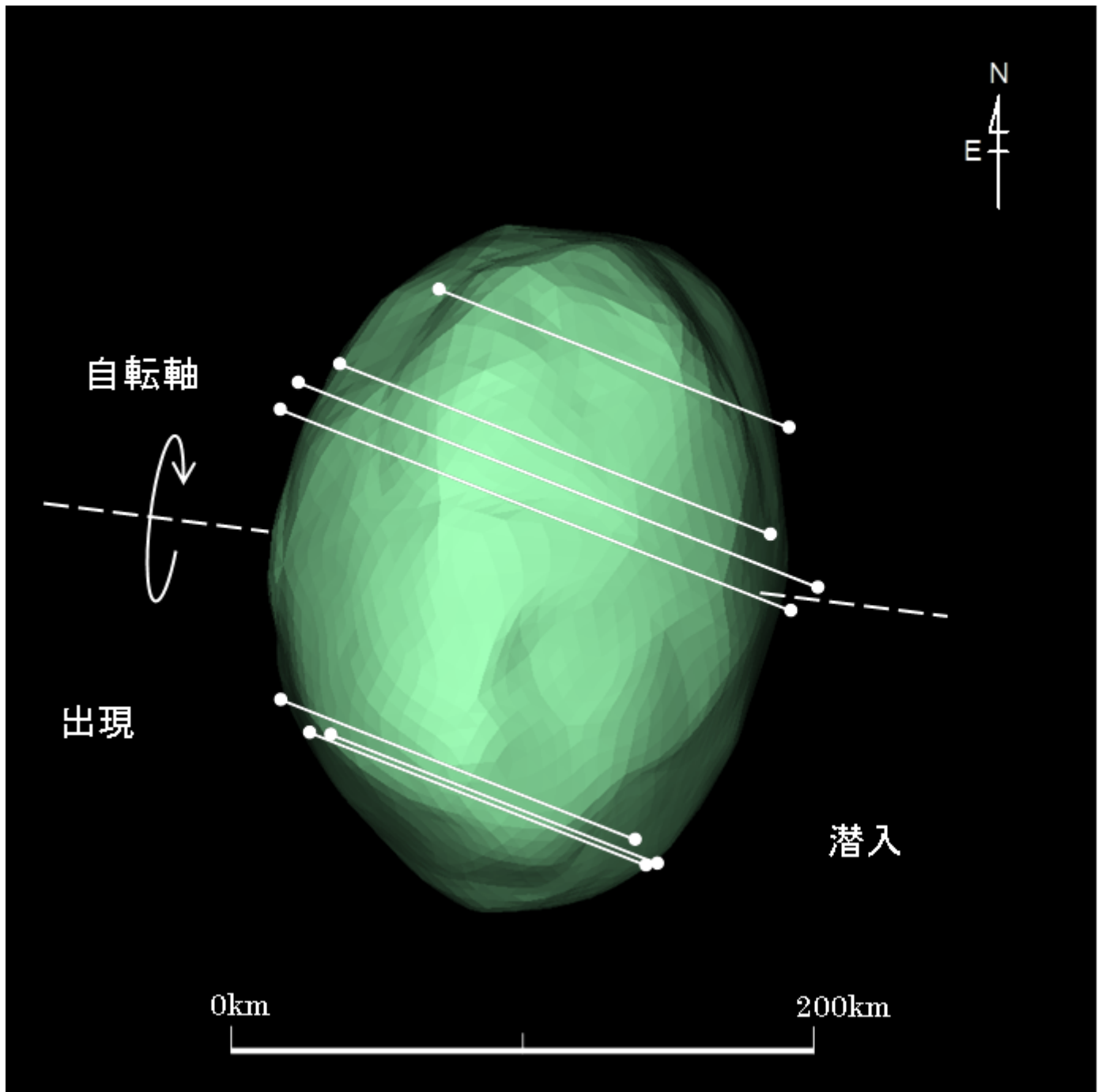


図3 (16) Psyche 2014年7月22日 23h46m24s UT VLT/SPHERE Model ($\lambda = 35.7561$ 、 $\beta = -9.6084$)
 $P = 82.5^\circ$ 、 $\beta_e = -11.4^\circ$ 、 $\lambda_e = +334.1^\circ$ 、Scale Factor 1: 1.0、 $k = 0.997$ 、 $B = 67.3^\circ$

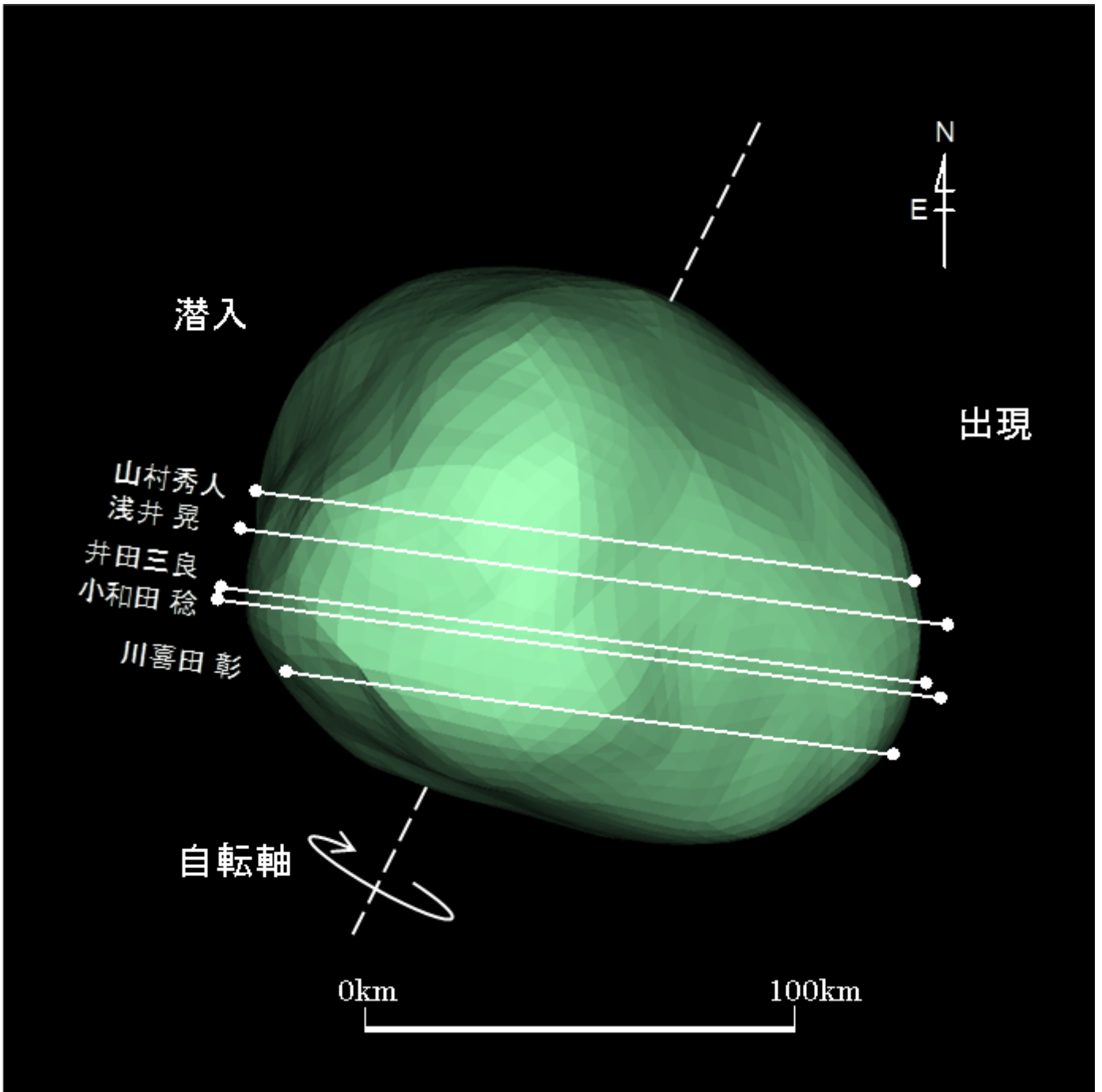


図4 (51)Nemausa 2021年4月21日 11h58m00s UT VLT/SPHERE Model ($\lambda=170.0501$ 、 $\beta=-65.8204$)
 $P=153.1^\circ$ 、 $\phi_e=-8.8^\circ$ 、 $\lambda_e=-223.7^\circ$ 、Scale Factor 1:1.0、 $k=0.969$ 、 $B=273.6^\circ$

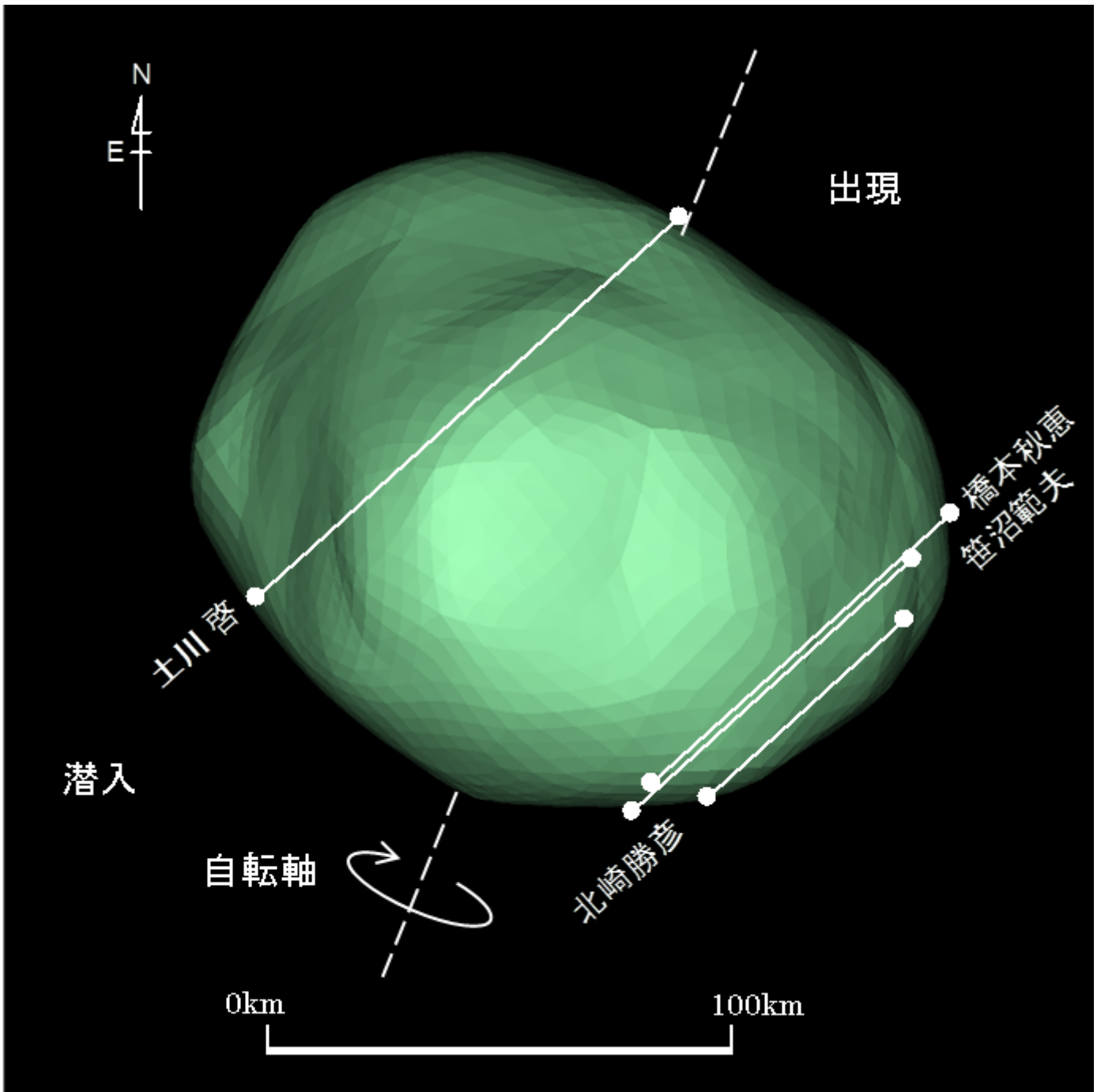


図 5 (51) Nemausa 2002 年 10 月 21 日 15h56m00s UT VLT/SPHERE Model ($\lambda = 170.05$ 、 $\beta = -65.82$)
 $P = 158.1^\circ$ 、 $\phi_e = -18.1^\circ$ 、 $\lambda_e = -118.3^\circ$ 、Scale Factor 1:1.0、 $k = 0.961$ 、 $B = 97.5^\circ$

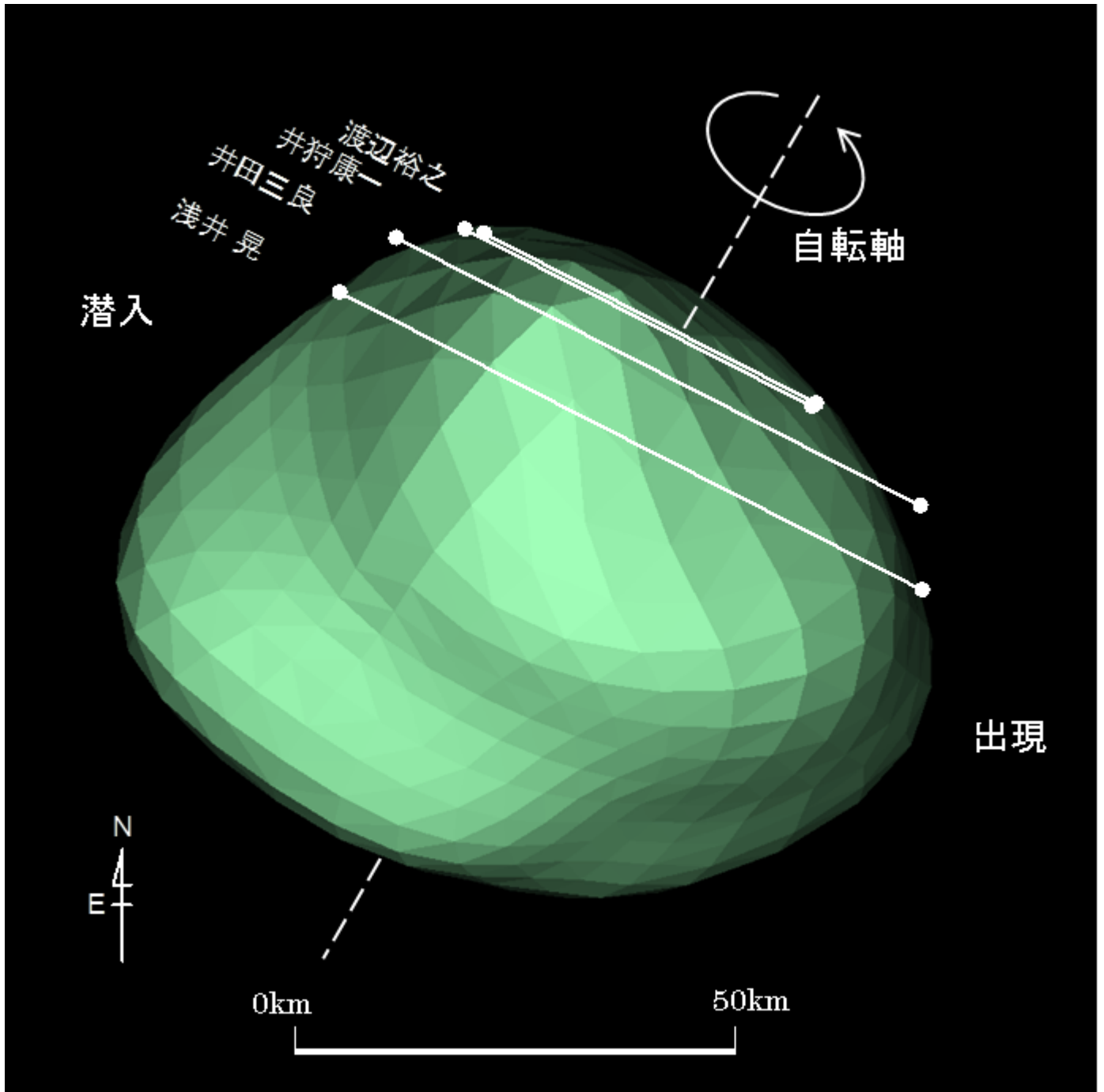


図6 (5) Astraea 2021年4月19日 18h51m12s UT DAMIT Model 1816 ($\lambda = 124$ 、 $\beta = +39$)
 $P = 330^\circ$ 、 $\beta_e = +38^\circ$ 、 $\lambda_e = +68^\circ$ 、Scale Factor 1: 0.71、 $k = 0.970$ 、 $B = 84.6^\circ$

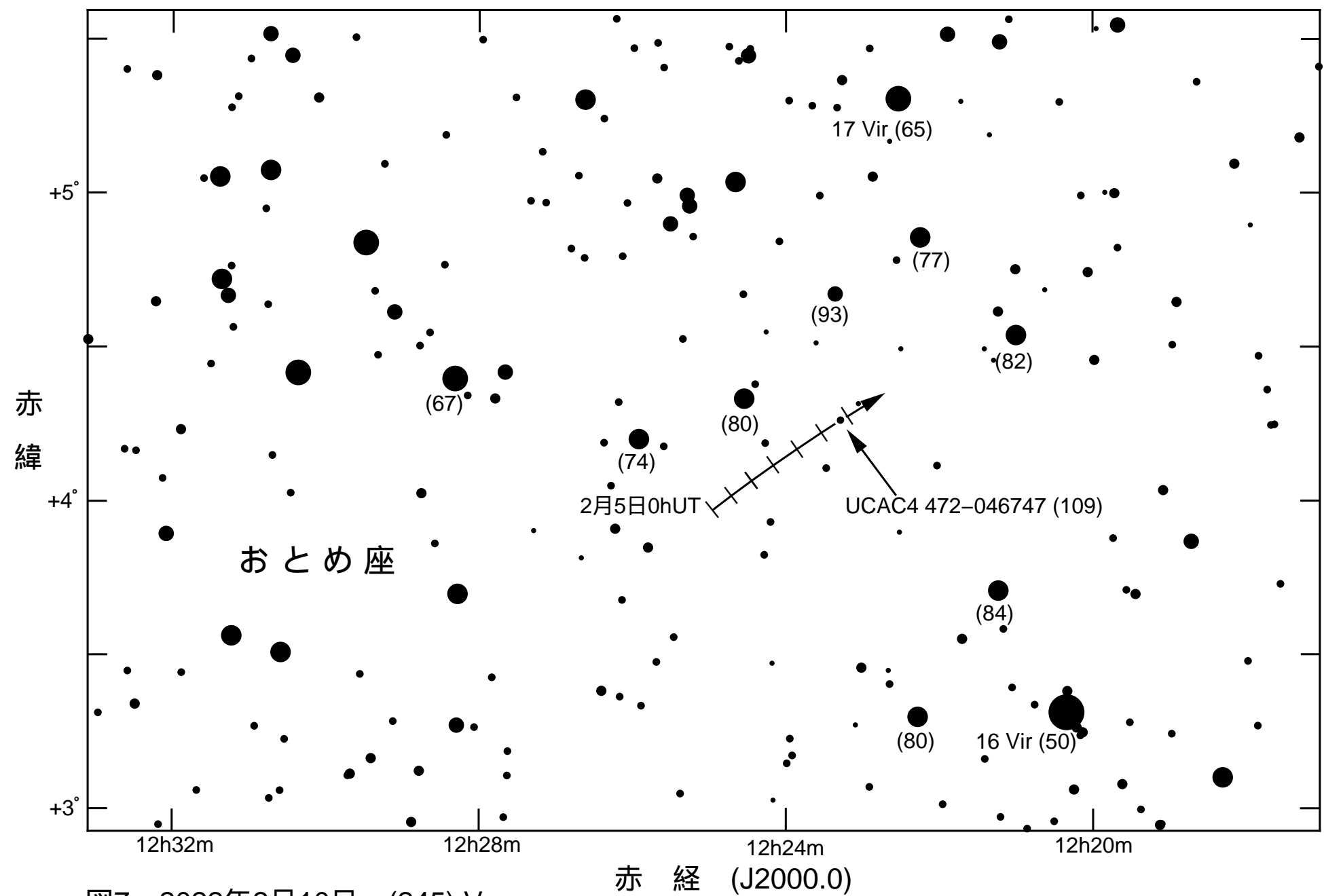


図7 2022年2月10日 (245) Vera

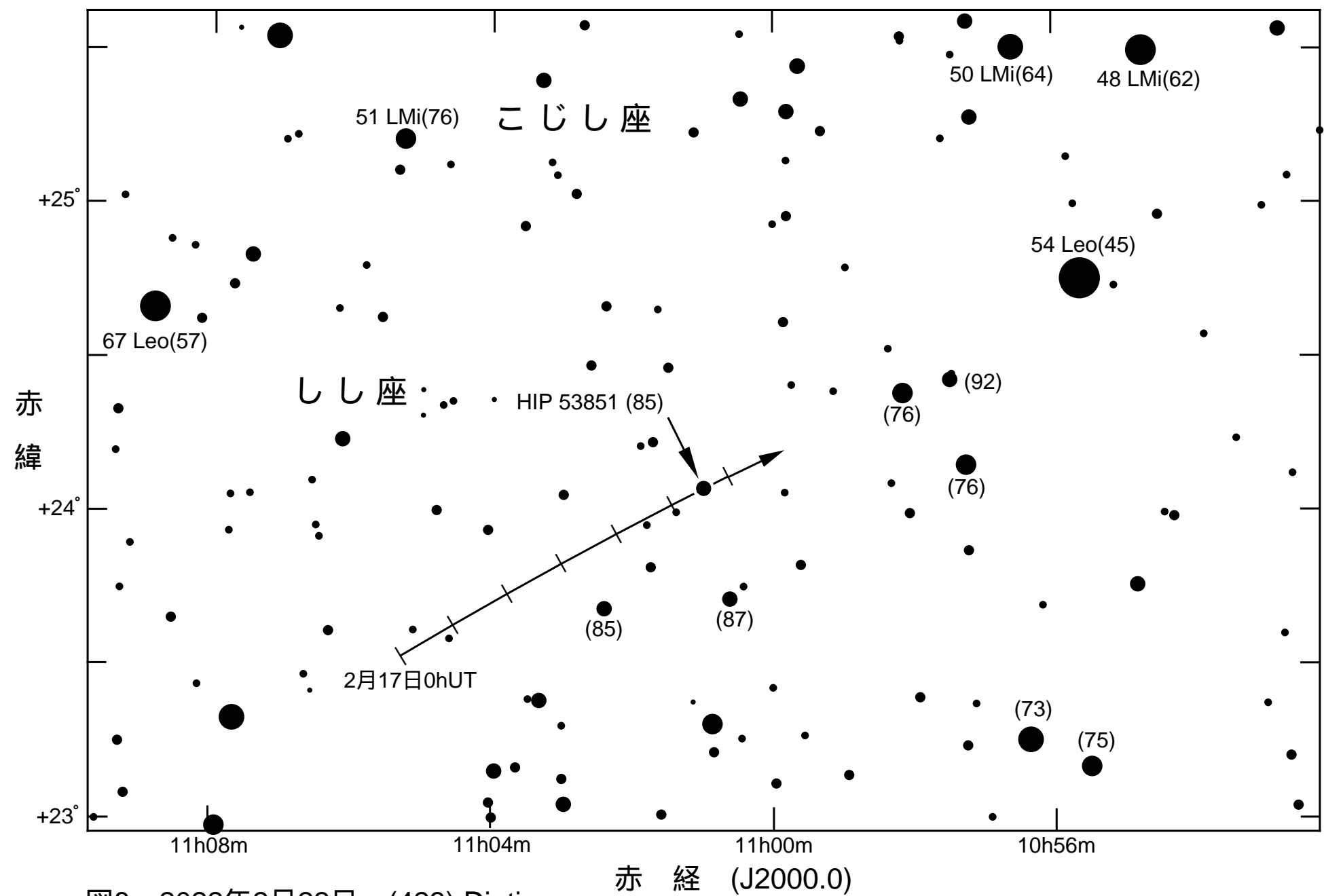


図8 2022年2月22日 (423) Diotima

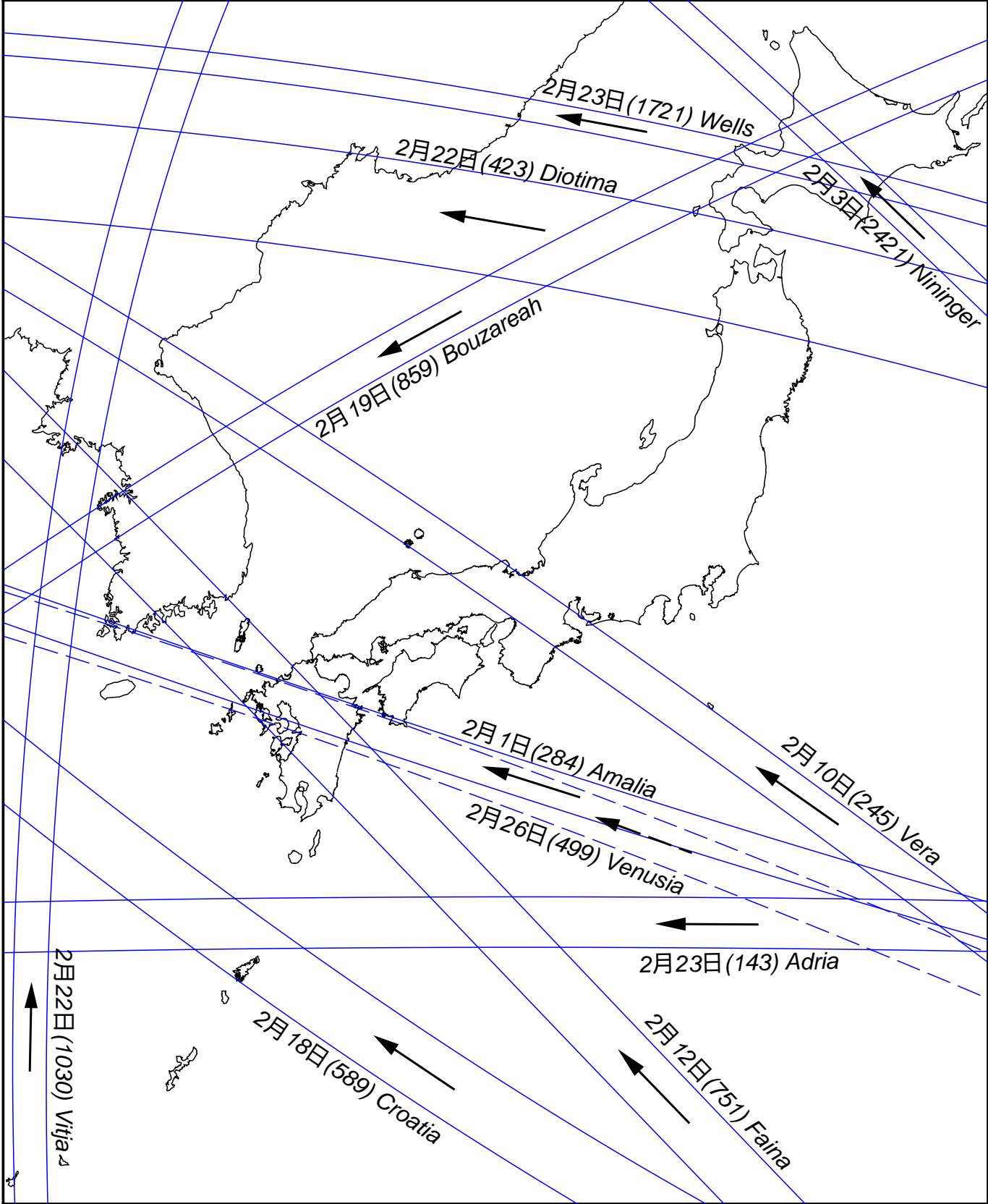


図9 小惑星による主な掩蔽帯経路 (S.Preston初期予報) 2022年2月
 矢印は影の移動方向を示す

図10 2022年2月 日本を通る主な星食限界線

(斜線をつけた側で星食が見られる)

青線：北限界 (斜線はこの線の下側)

赤線：南限界 (斜線はこの線の上側)

